Multiplex PEAK MULTIPLEX

0200HO11786 JOSUPER x TOPSHOT x DELTA

FERTILITY FIRST CALVING EASE A2A2

UECKER SUPERSIRE JOSUPER
BOMAZ MADDIE 3*
BOMAZ TOPSHOT
BOMAZ DELTA 7032 VG-87-6YR-USA
MR MOGUL DELTA 1427
BOMAZ DEAN 6036 VG-85-3YR-USA

GTPI 2779

TD TR TL TY MWC TV 99%-I HH1F HH2F HH3F HH4F HH5F HH6C HCDF HMWC

Nom #: HOCANM13353618	aAa: 423516	DMS: 234,246
Né le: 03/05/2019	Caséine kappa: AB	Caséine bêta: A2A2

PRODUCTION 54 Troup 340 Filles 96% Fiab MACE-G / 04-25

Lait lbs	Gras lbs	Gras %	Protéine lbs	Protéine %
1073	**74**	**+0.11**	**41**	**+0.02**
NM$ **441**	CM$ **455**	FM$ **410**	GM$ **386**	DWP$ **482**
Efficience de l'alimentation **184**	IAR **33**	Alimentation économisée **-177**	Efficience du méthane **104**	

Moyenne des filles Lait **28,227 lbs** Gras **1,245 lbs** Protéine **948 lbs**

SANTÉ ET REPRODUCTION **Immunité 100**

Vie productive	**-0.2**	Immunité des veaux	**98**
SCS	**2.94**	Taux de conception des vaches	**-2.8**
Taux gest. Filles	**-2.4**	Taux de conception des génisses	**-2.6**
Vivabilité	**-1.5**	Facilité de vêlage	**2.0%** 85% Fiab
Livabilité des génisses	**0.0**	Facilité vêl. Filles	**1.6%** 75% Fiab
Indice de fertilité	**-2.1**	Mortinatalité	**5.1%**
		Mortinatalité des filles	**4.3%**

CONFORMATION 30 Troup 105 Filles 90% Fiab MACE / 04-25

PTAT	**-0.47**	Composite corps	**0.89**
PisC	**-1.19**	Composite laitier	**0.82**
P&MC	**-1.31**		

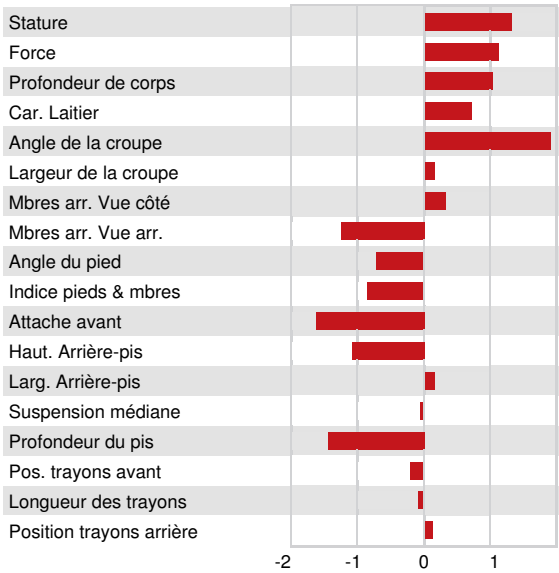

Stature	Grande	**+1.33**
Force	Forte	**+1.13**
Profondeur de corps	Profond	**+1.04**
Car. Laitier	Côtes ouvertes	**+0.73**
Angle de la croupe	Isch. bas	**+1.93**
Largeur de la croupe	Large	**+0.18**
Mbres arr. Vue côté	Courbés	**+0.32**
Mbres arr. Vue arr.	Jarrets serrés	**-1.22**
Angle du pied	Peu profond	**-0.72**
Indice pieds & mbres	Indésirable	**-0.85**
Attache avant	Faible	**-1.64**
Haut. Arrière-pis	Basse	**-1.05**
Larg. Arrière-pis	Large	**+0.18**
Suspension médiane	Faible	**-0.03**
Profondeur du pis	Profond	**-1.43**
Pos. trayons avant	Éloignés Ecartés	**-0.21**
Longueur des trayons	Courts	**-0.05**
Position trayons arrière	Rapprochés	**+0.12**